2.2 地盤条件

2.2.1 土質調査の概要

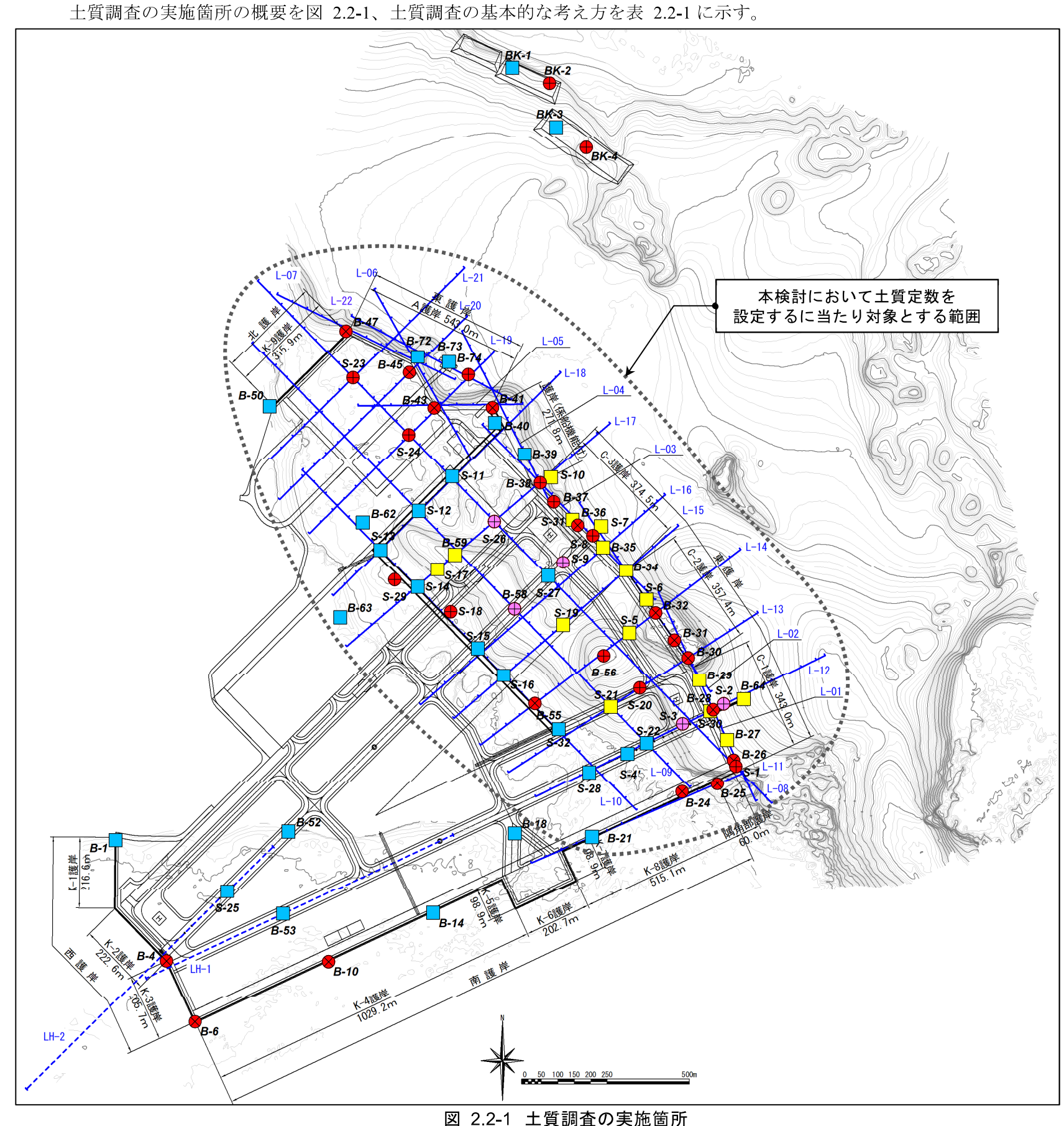


表 2.2-1 大浦湾側の土質調査の基本的な考え方

■土質調査の基本的な考え方

- ・護岸法線、海底地形を基に設定した図2.2-2に示す各調査エリアの両端部、中央部 付近及び法線変化点等を対象として調査地点を設定し、土質調査を実施した。
- 土質調査地点間の地層の成層状態を把握することを目的として音波探査を実施した。
- 土質調査地点間及び音波探査において、地層境界が不明瞭な箇所の把握等を目的と して、更なる土質調査を実施した。

■土質調査の内容

分類	凡例 数量	サンプリング	室内試験	サウンディング
	—	乱れの少ない試料(3m毎に1m)	物理試験 力学試験	N値(3m毎に2回)
	29地点	乱された試料(3m毎に2m)	物理試験	N 個 (3M 毋 IC 2回)
ボーリング	5地点	乱れの少ない試料(1m毎)	物理試験 力学試験	_
	27地点	乱された試料(1m毎)	物理試験	N値(1m毎に1回)
CPT*	15地点	乱された試料(4m毎に1m)	物理試験	CPT(4m毎に3回)
音波探査	22測線	_	_	_
弾性波探査	2測線	_		_

※「港湾の施設の技術上の基準・同解説(平成30年5月)」P.332より以下抜粋 「調査地点間のデータを補間するために多くの地点を必要とする場合等には、より 簡便に調査を実施できる電気式コーン貫入試験は、有用な調査手法となる。」

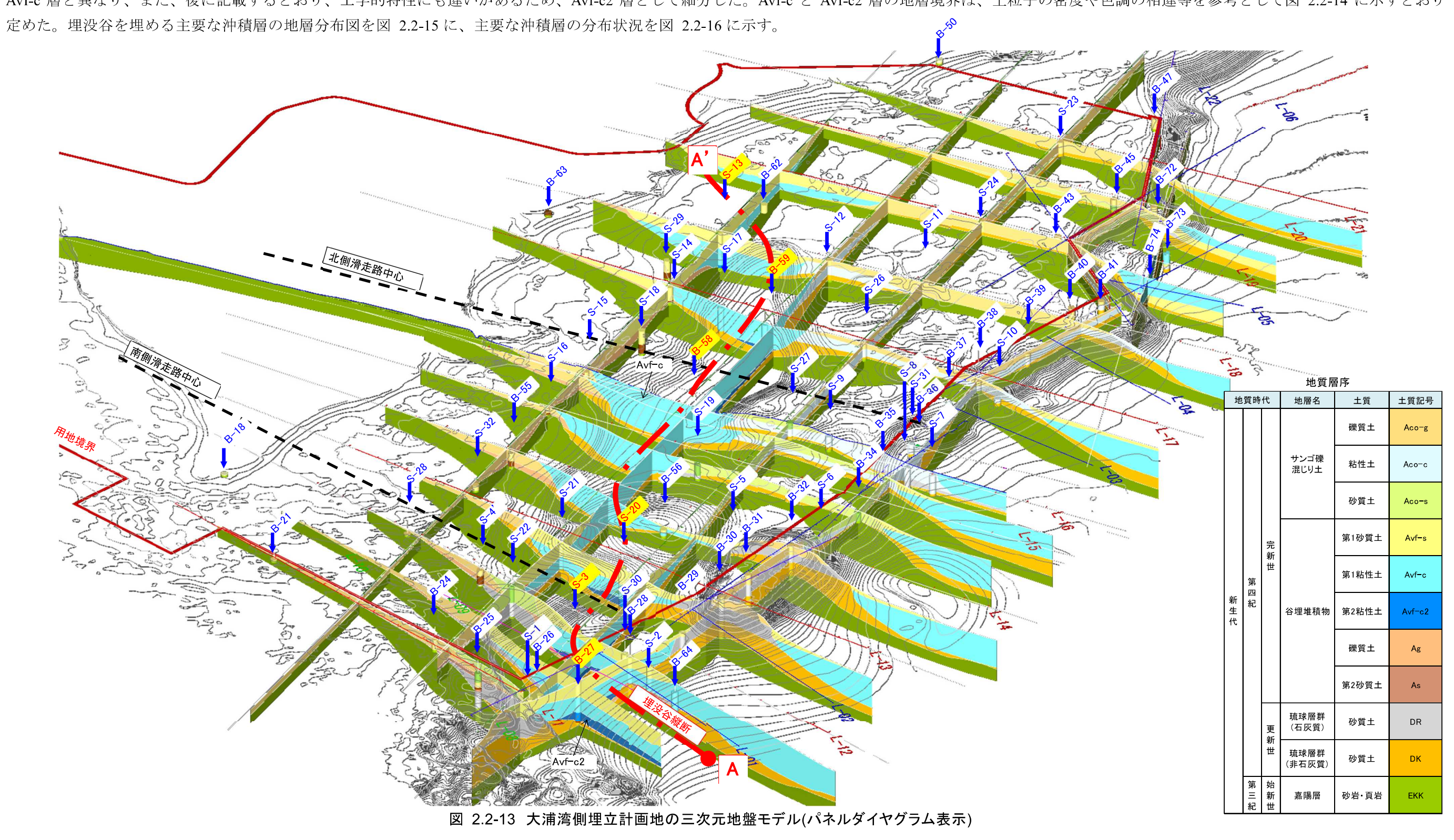
2.2.2 土質調査結果の分析

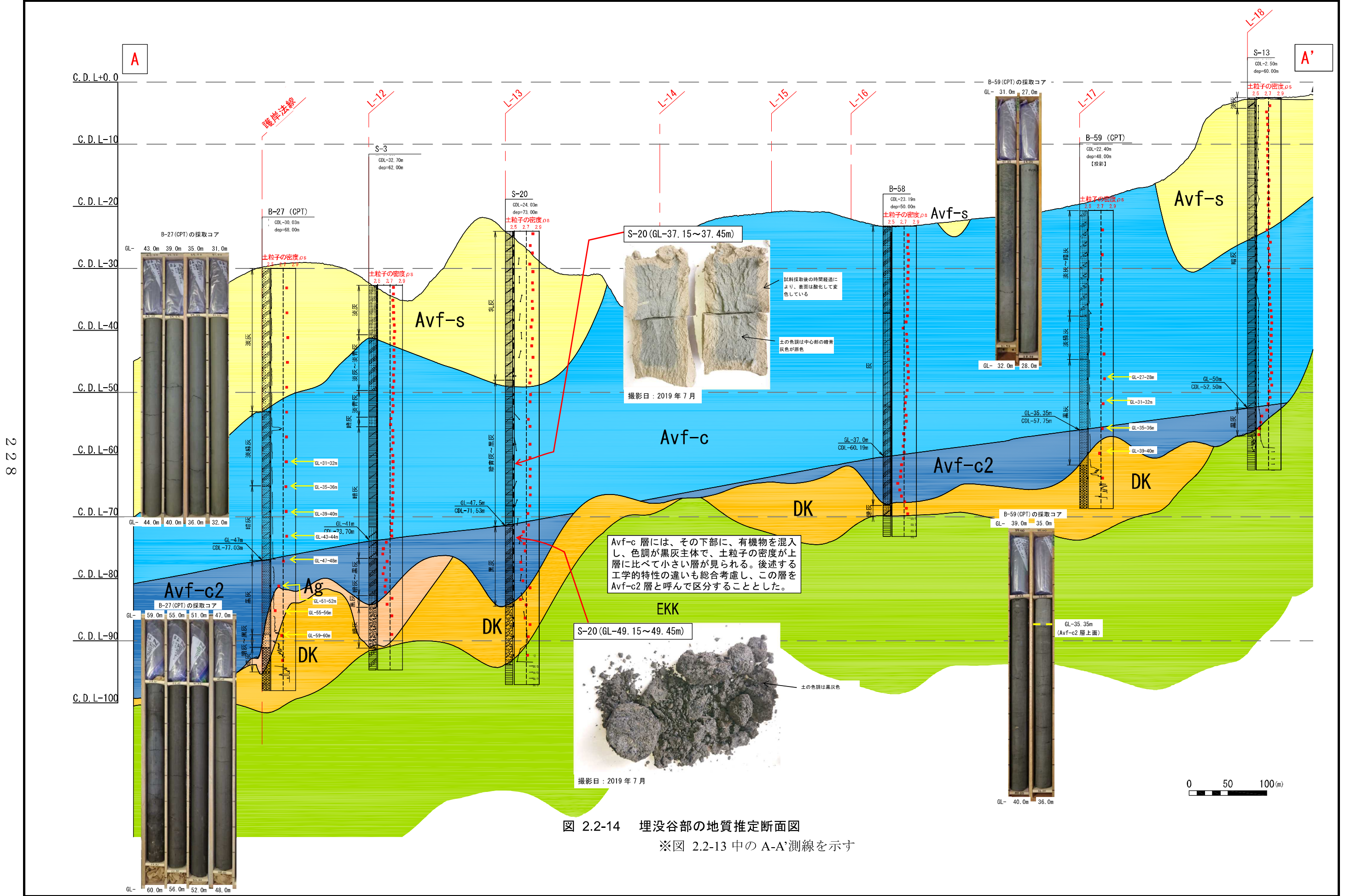
(1) 地層構成

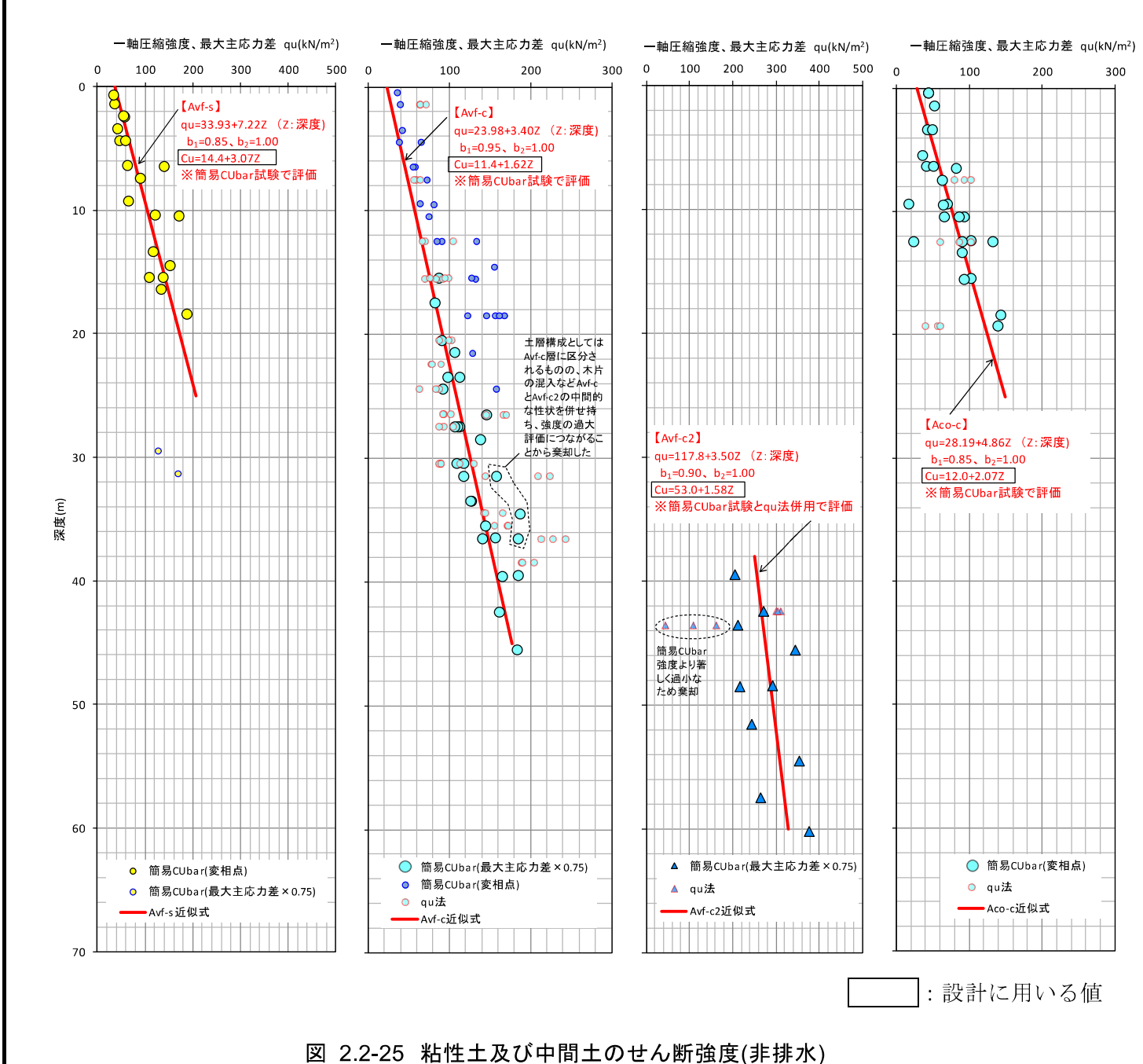
ボーリング調査結果に基づいて地盤の地層分布に関する解析・整理を行い、地層の空間的な分布の把握が可能な三次元地盤モデルを作成した。図 2.2-13 に三次元地盤モデルをパネルダイヤグラム表示したも のを示す。

大浦湾の埋立計画地内には、図 2.2-13 中に示す A-A'測線に沿う形の埋没谷があり、それを埋める形で主要な沖積層が堆積している。

図 2.2-14 に埋没谷部の地質推定断面図を示す。埋没谷の下部には、有機物を含む黒色の粘性土が堆積している層が見られる*13。同層は、有機物を含み、土粒子の密度や色調といった物理的な特性が上部の Avf-c 層と異なり、また、後に記載するとおり、工学的特性にも違いがあるため、Avf-c2 層として細分した。Avf-c と Avf-c2 層の地層境界は、土粒子の密度や色調の相違等を参考として図 2.2-14 に示すとおり





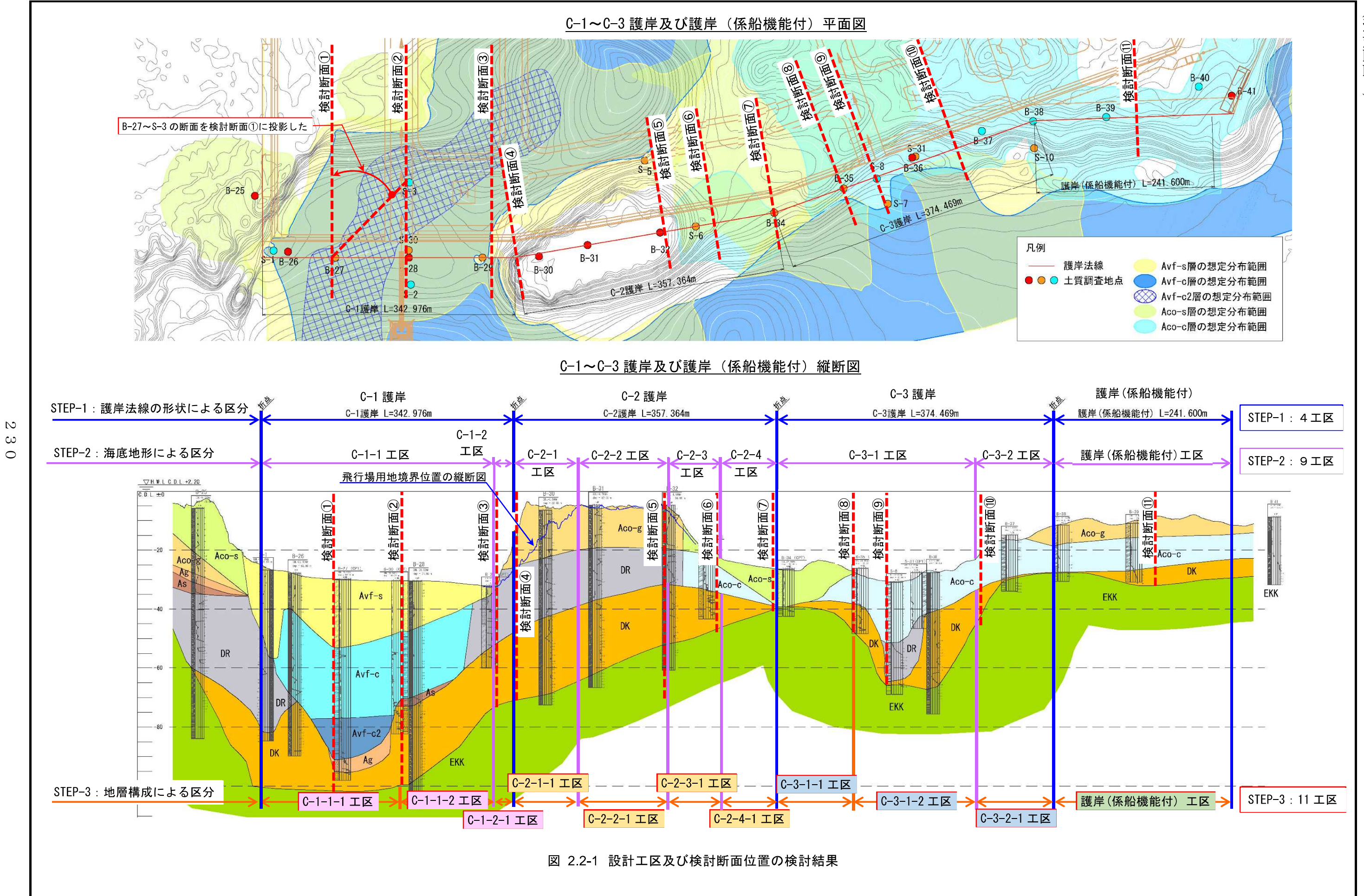


2 2 9

表 2.2-15 地層別の設計に用いるせん断強度

	36 		非排水強	度		排水引	鱼 度
土質 区分	強度設定 の区分	Cu (kN/m²)	φ (度)	設定の考え方	C_D (kN/m^2)	φ _D (度)	設定の考え方
Avf-s	中間土	14.4+3.07Z (Zの基準: GL±0.0)	0	簡易CUbar(変相点), (b1=0.85, b2=1.00), CV=0.28, n=19	0	37	三軸CD試験による強度 (b1=0.95, b2=1.00), CV=0.11, n=39
Avf-c	粘性土	11.4+1.62Z (Zの基準: GL±0.0)	0	簡易CUbar (最大主応力差×0.75), (b1=0.95, b2=1.00), CV=0.11, n=24	圧密による強	度増加を考慮	強度増加率は、三軸圧縮試験 結果の平均値で設定
Avf-c2	粘性土	53.0+1.58Z (Zの基準: GL±0.0)	0	簡易CUbar (最大主応力差×0.75), qu法, (b1=0.90, b2=1.00), CV=0.18, n=13	圧密による強	度増加を考慮	強度増加率は、三軸圧縮試験 結果の平均値で設定
Асо-с	中間土	12.0+2.07Z (Zの基準: GL±0.0)	0	簡易CUbar(変相点), (b1=0.85, b2=1.00), CV=0.33, n=25	0	36	三軸CD試験による強度 (b1=0.90, b2=1.00), CV=0.16, n=16
Aco-s	砂質土	_	I	-	0	33	三軸CD試験による強度 (b1=0.95, b2=0.75), CV=0.14, n=2
Aco-g	砂質土	_	-	_	0	40	三軸CD試験による強度 (b1=0.95, b2=1.00), CV=0.15, n=32
As	砂質土	-	-	_	0	32	三軸CD試験による強度 (1地点のデータ(n=1)であるた め、補正なし)
Ag	砂質土	_	_	_	0	34	三軸CD試験による強度 (b1=1.00, b2=0.83), CV=0.09, n=3
DR	砂質土	_	_	_	0	32	三軸CD試験による強度 (b1=0.95, b2=0.94), CV=0.14, n=9
DK	砂質土	-	_	_	0	30	三軸CD試験による強度 (b1=0.95, b2=0.93), GV=0.10, n=7
EKK	基盤	_	_	_	_	_	_

CV:変動係数



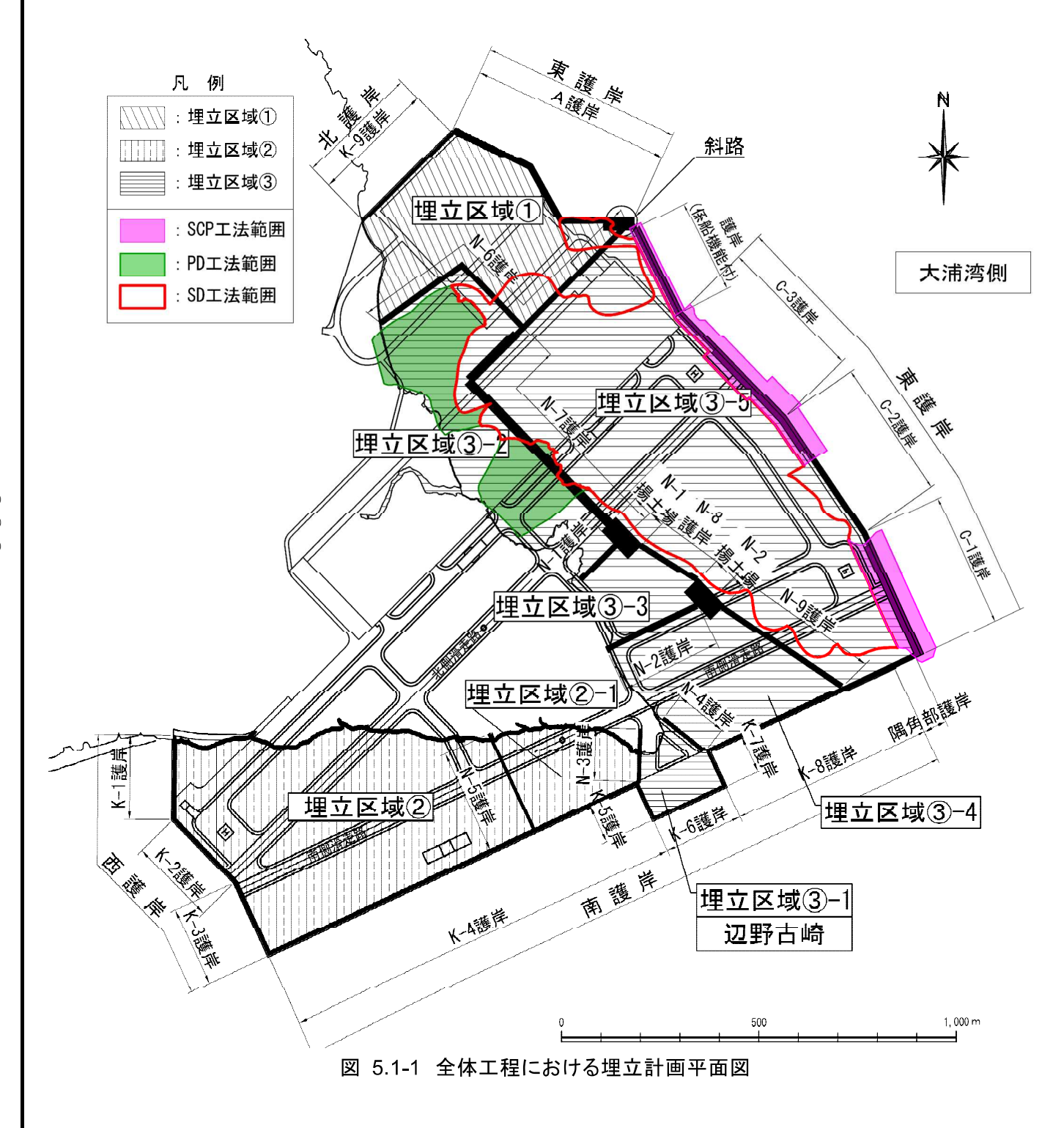
2.7 C-1~C-3 護岸及び護岸(係船機能付)の標準断面

資料

5. 全体工程

5.1 全体工程の考え方

「3. 基本工程の作成」及び「4. 工程短縮の検討」を踏まえ、全体工程を設定するものとし、全体工程に対する埋立計画平面図を図 5.1-1 に示す。



5.2 全体工程の設定

全体工程を表 5.2-1 及び表 5.2-2 に示し、全体工程の主な条件を以下に整理する。

(1) 地盤改良工(SCP 工法)

- ・全体工程のクリティカルパスとなる C-1 護岸は SCP 工法の船団を 3 船団配置する。
- ・C-2、C-3 護岸及び護岸(係船機能付)は順次施工し、C-1 護岸とほぼ同時期に終えるように SCP 工法の船団を C-2 及び C-3 護岸は 2 船団~3 船団、護岸(係船機能付)は 2 船団配置する。

(2) 地盤改良工(SD 工法)

- ・SD 船は SCP 船を艤装して使用することから、SD 工法の工程は、SCP 工法の船団数を考慮する。
- ・護岸直下の SCP 工法による施工を行った船団は、クリティカルパス上の工種である C-1 護岸背後 の SD 工法による施工から開始する 3 船団と、C-2、C-3 護岸及び護岸(係船機能付)の背後の SD 工法による施工から開始する 2 船団に分かれて施工する。

(3) 護岸工(ケーソン式護岸)

- ・HB ケーソンは、工程短縮を目的として、断面が大きくなる区間及び全体工程のクリティカルパスとなる C-1 護岸に設置するものとし、HB ケーソンは 13 函、RC ケーソンは 24 函とする。
- ・ケーソン据付は2班とし、ケーソン函の据付は月2函/班とする。

(4) 護岸工(A護岸)

- ・鋼管矢板打設は、ウォータジェット併用バイブロハンマ工法による。
- ・全体工程のクリティカルとならないため、鋼管矢板打設は1船団とする。

(5) 埋立工

- ・基本的には外周護岸閉合後にリクレーマ船で揚土し、所要の高さまでフローティングベルトコンベアにより直接投入・埋立後、ホイルローダ等にてダンプトラック・重ダンプトラックへ積込み、揚土箇所から埋立場所まで陸送する。
- ・海上埋立のリクレーマ船は、C-1~C-3 護岸及び護岸(係船機能付)に 5 船団、A 護岸は 2 船団配置 する。
- ・外周護岸閉合後の埋立区域③-5 の埋立の工程の短縮を目的として、外周護岸閉合前に汚濁拡散低減効果のあるトレミー船による先行埋立を1船団で行う。

(6) 中仕切護岸

- ・工程短縮を目的として、大浦湾側浅瀬の埋立を早期に行うため、中仕切護岸 N-1、N-2、N-6~N-9 を設置し陸上から埋立を行う。
- ・ダム切土 (締固め後土量 191 万 m³) は、埋立区域③-2 の埋立材として利用し、早期に陸上から埋立する。
- ・埋立区域①及び埋立区域③-2 を先行して埋め立てることで、飛行場施設における建築工事の着手時期を早める。

会 資料

■照査結果

 \sim

施工時及び完成時の照査結果を図 8.2-3 及び図 8.2-4 に示す。

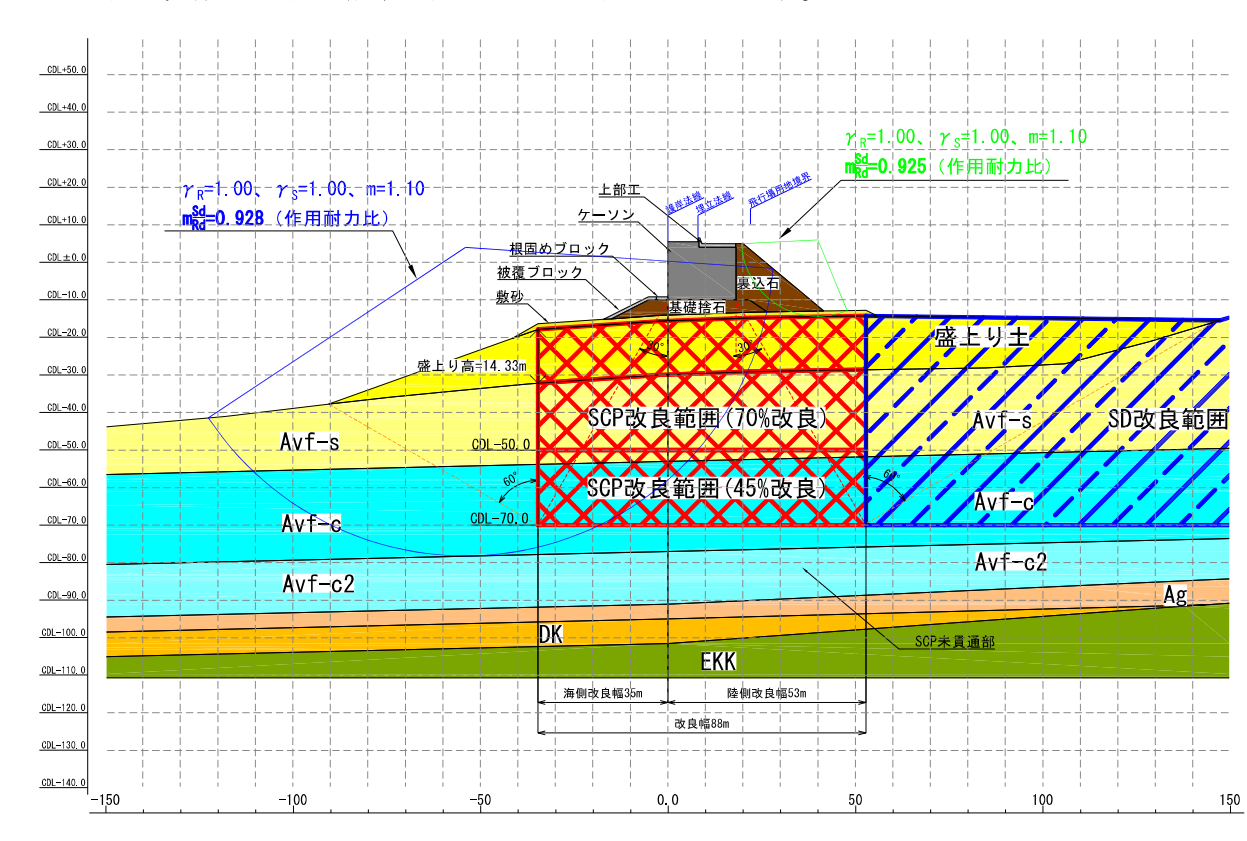


図 8.2-3 C-1-1-1 エ区の地盤の安定性能照査結果(施工時)

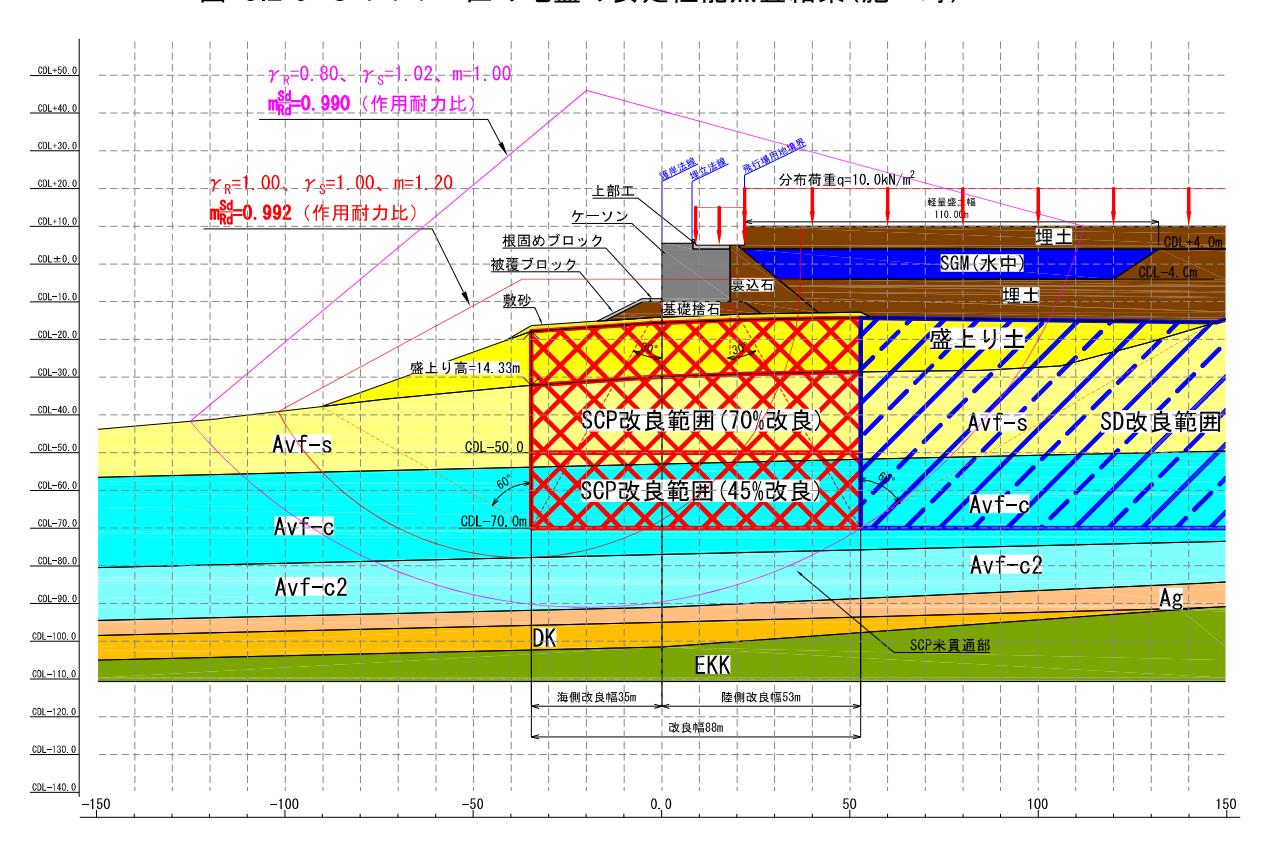


図 8.2-4 C-1-1-1 エ区の地盤の安定性能照査結果(完成時)

■全工区の照査結果

全ての工区**8.2-3 において、作用耐力比を満足(1.00以下)する結果となった。 よって、第2回技術検討会において提示した全ての工区の地盤改良範囲及び深度を決定諸元とした。

表 8.2-3 C-1~C-3 護岸及び護岸(係船機能付)の地盤の安定に対する照査結果一覧

IE	C-1	護岸	C-2	護岸		C-3護岸		護岸(係船
区分	C-1-1-1	C-1-1-2	C-2-3-1	C-2-4-1	C-3-1-1	C-3-1-2	C-3-2-1	機能付)
作用耐力比(施工時)	0.928	0.971	0.872	0.985	0.894	0.986	0.997	0.859
作用耐力比(完成時)	0.992	0.995	0.976	0.998	0.996	0.863	0.984	0.965

※完成時は、圧密度を考慮した強度増加を見込んでいるが、施工時は、強度増加は見込んでいない。

・盛上り土の高さの算出結果

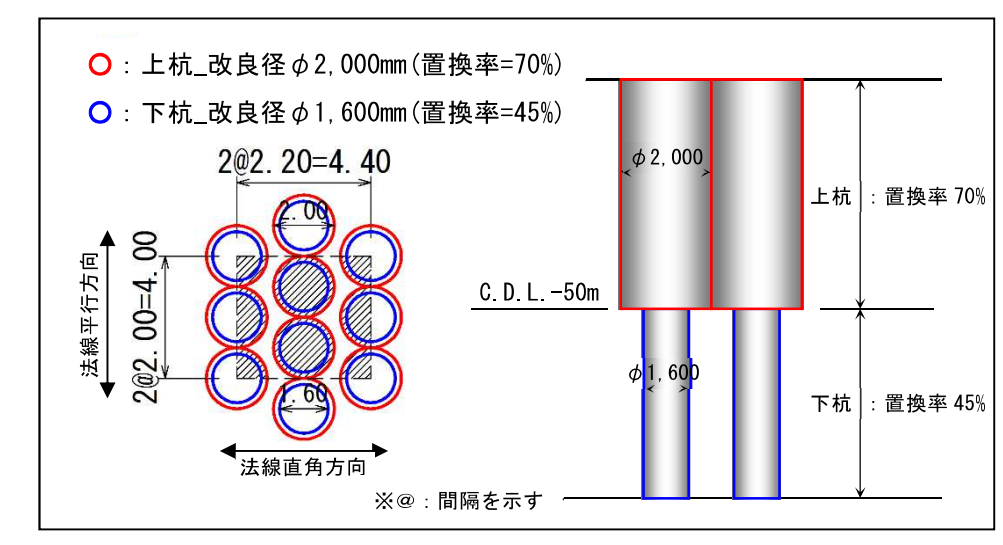
• 前提条件

SCP工法の砂杭径は、C.D.L.-50m以浅を拡径 φ 2,000mm、C.D.L.-50 から C.D.L.-70mまでを拡径 φ 1,600mm とし、置換率は 70% (φ 2,000mm)、45%(φ 1,600mm)とした。 (図 2.5-1) 改良深度は後述する地盤の安定性能照査から C.D.L.-70m とした。改良幅はスリットケーソン底板から 30 度分散を考慮した範囲とした。 (図 2.5-1)

結果

• 算出結果

表 2.5-1 のとおり。



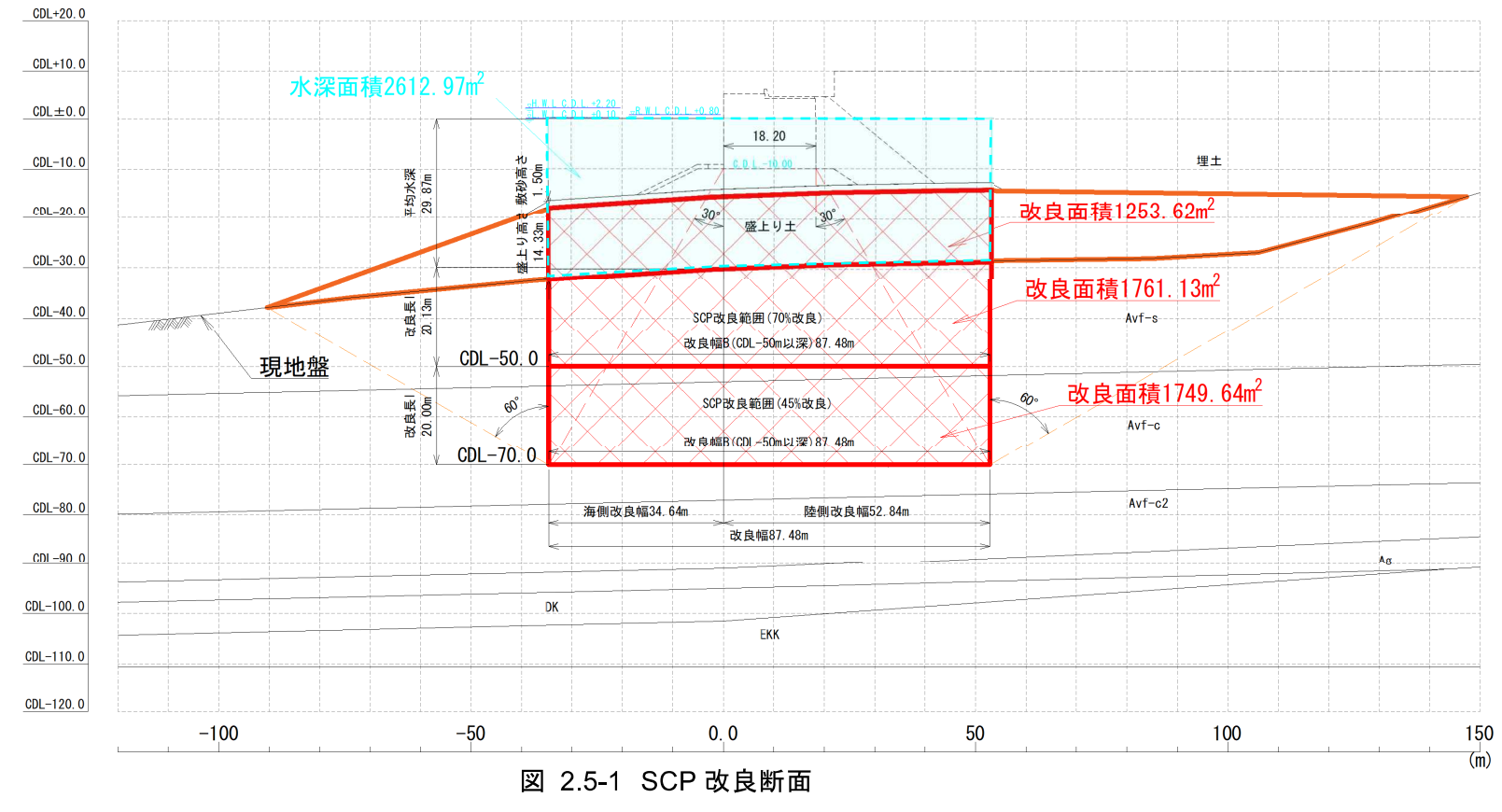


表 2.5-1 盛上り土の高さの算出結果

盛上り ① 影響角度 θ ° 60 60 (平成30年5月) 」 P.820**2.5.1-4より ② tan θ 1.73 1.73 盛上高 I 6.69 2.30 式iii (※1) ③ 改良長L m 8.99 上記の 盛上り本の 協 平均砂杭長Lo 1.00 或 上高 I の(A)+盛上高 I の(B) 試 (※1) 3 ③ 空内砂杭長Lo m 8.99 ③ 空内砂杭長Lo m 8.99							
地盤改良諸元 (SCP)		項目	1	単位			備考
地盤改良諸元 (SCP) ② 改良面積 ㎡ 1761.13 1749.64 図面より ④ 改良幅B m 2612.97 — 図面より ⑥ 改良長L m 20.13 20.00 ②/④ ⑥ 平均水深 m -29.87 — ③/④ ⑦ 置換率as 0.70 0.45 ⑧ 盛上り率 μ 0.66 0.46 (A)は式i、(B)は式ii (※1) ⑨ 改良下端 m -50.00 -70.00 図面より ⑩ 平均砂杭長Lo m 20.13 40.13 ⑥-⑨ 「港湾の施設の技術上の基準・同解診(平成30年5月)」P.820※2.5.1-4より 追加 印 1.73 1.73 座上高 I 6.69 2.30 式ii (※1) 協 座上り率 μ 1.00 第 協 座上り率 μ 1.00 第 協 座上り率 μ 1.00 第 協 座上り本 μ 1.00 第 協 上部の施設に伴う 盛上高 I の(A)+盛上高 I の(B) 式i (※1) 協 ア均砂杭長Lo m 8.99 協 影響角度 θ 60 60		1	改良深る	mm			図面とり
地盤改良諸元 (SCP) (S		⊢			,		
地盤改良諸元 (SCP)		Ě					
(SCP) (SC	地盤改良諸元	⊢					
(6) 平均水深 m -29.87 - ③/④ (7) 置換率as 0.70 0.45 (8) 盛上り率 μ 0.66 0.46 (A)は式i、(B)は式ii(※1) (9) 改良下端 m -50.00 -70.00 図面より (10) 平均砂杭長Lo m 20.13 40.13 (6)-⑨ (11) 影響角度 θ ° 60 60 [港湾の施設の技術上の基準・同解語 (平成30年5月) 」 P.820*2.5.1-4より (12) はan θ 1.73 1.73	(SCP)	Ě		m			
ファイン では では では では では では では で		Ľ		m	20.13	20.00	0, 0
現地盤の 盛上り 単元		6	平均水深	m	-29.87	-	3/4
現地盤の 盛上り ① 改良下端 m -50.00 -70.00 図面より ① 平均砂杭長Lo m 20.13 40.13 ⑥-⑨ 「港湾の施設の技術上の基準・同解説(平成30年5月)」P.820 ^{※2.5.1-4} より ② tan θ 1.73 1.73 盛上高 I 6.69 2.30 式 iii(※ 1)		7	置換率as		0.70	0.45	
現地盤の 盛上り		8	盛上り率μ		0.66	0.46	(A)は式 i 、(B)は式 ii (※1)
現地盤の 盛上り		9	改良下端	m	-50.00	-70.00	図面より
盛上り ① 影響角度 θ ° 60 60 「港湾の施設の技術上の基準・同解誌 (平成30年5月)」 P.820 ^{※2.5.1-4} より ② tan θ 1.73 1.73 盛上高 I 6.69 2.30 式iii (※1) 盛上高 I 0 改良長L m 8.99 基上記の 協力 基上高 I の(A)+盛上高 I の(B) 或 i ※1) ③ 下均砂杭長Lo m 8.99 成良に伴う 盛上り土の 改良に伴う 盛上り 60 成別 「港湾の施設の技術上の基準・同解誌 (平成30年5月)」 P.820 ^{※2.5.1-4} より	田神般の	10	平均砂杭長Lo	m	20.13	40.13	6-9
虚上高 I 6.69 2.30 式iii (※1) 協 改良長L m 8.99 協 盛上り率μ 1.00 協 平均砂杭長Lo m 8.99 成良に伴う 部 協 影響角度 θ 60 一 「港湾の施設の技術上の基準・同解設の技術上の基準・同解設の技術上の基準・同解設の技術上の基準・同解設の表別の表別の表別の表別の表別の表別の表別の表別の表別の表別の表別の表別の表別の		(11)	影響角度 θ	0	60	60	「港湾の施設の技術上の基準・同解説 (平成30年5月) 」P.820 ^{※2.5.1-4} より
追 改良長L m 8.99 止記の 盛上り土の 改良に伴う 盛上り 値 影響角度 θ 1.00 ご 平均砂杭長Lo m 8.99 で の で の で で で で の で で で で で で で で で で で		(12)	$\tan \theta$		1.73	1.73	
上記の 盛上り本の 改良に伴う 盛上り ・ 影響角度 θ ・ 60		盛_	上高 I		6.69	2.30	式iii (※1)
上記の 盛上り土の 改良に伴う の 影響角度 θ 。 60 「港湾の施設の技術上の基準・同解説 (平成30年5月) 」P.820 ^{※2.5.1-4} より		(13)	改良長L	m	8.99		盛上高Iの(A)+盛上高Iの(B)
盛上り土の 改良に伴う 盛上り 15 平均砂杭長Lo m 8.99 改良に伴う 盛上り 16 影響角度 θ 60 (平成30年5月) 1 P.820**2.5.1-4より	L≣⊐ ø	(14)	盛上り率μ		1.00		式 i (※1)
改良に伴う (1) 影響角度 θ (1) ・		(15)	平均砂杭長Lo	平均砂杭長Lo m 8.99 ③	(13)		
(平成30年5月) J P.820 ^{※2.5.1-4} より		16)	- 「港湾の施設の技	「港湾の施設の技術上の基準・同解説			
\bigcirc		100	影響用及 0		00		(平成30年5月)」P.820 ^{※2.5.1-4} より
	強工り	17)	an heta		1.73		
盛上高 5.34 式 式 iii (※ 1)		盛_	上高		5.34		式iii (※1)
盛上高合計 m 14.33 盛上高 I の(A)+盛上高 I の(B)+盛上系	盛上高合計			m		14.33	盛上高 の(A)+盛上高 の(B)+盛上高

※1:隆起率 μ、盛上り高 H の算定式

$\mu = 0.718 \text{ a s} + 2.117 \times L^{-1} + 0.056$	(拡径 φ 2.0m の場合)	式i
$\mu = 0.678 \text{ a s} + 1.999 \times L^{-1} + 0.053$	(拡径 ϕ 1.6m の場合)	式ii
$H=(\mu \cdot a s \cdot B \cdot \ell)/(B+Lo \cdot tan \theta)$		式iii

算定式の出典は下記の通り。

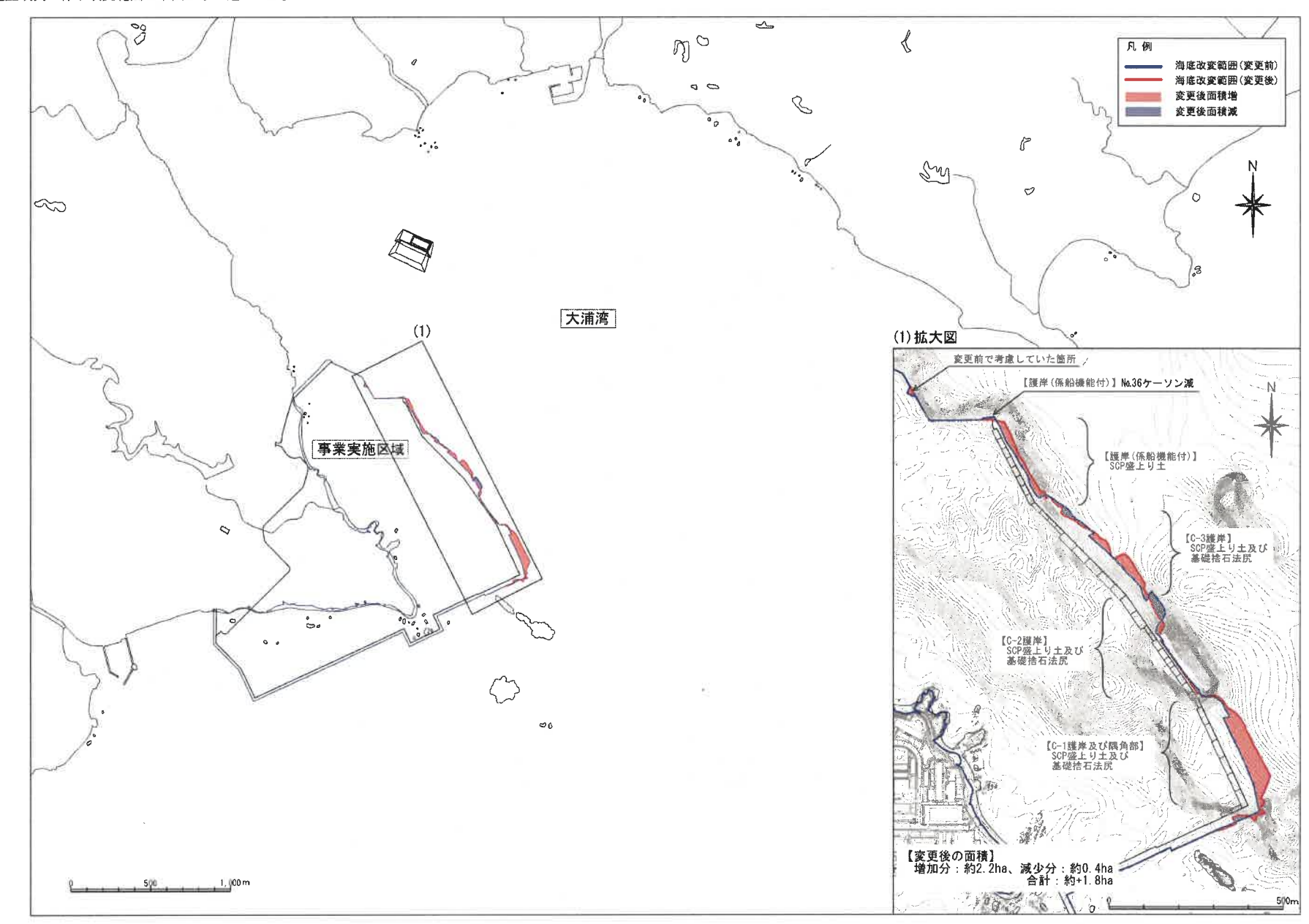
式 i、ii : 「サンドコンパクションパイル打設に伴う粘性土地盤の隆起形状の予測 第 31 回地盤工学研究 発表会」P.83~84

式 iii : 「打戻し施工によるサンドコンパクションパイル工法設計・施工マニュアル」P.32~33

地盤改良に伴う改変範囲は下図に示す通りです。

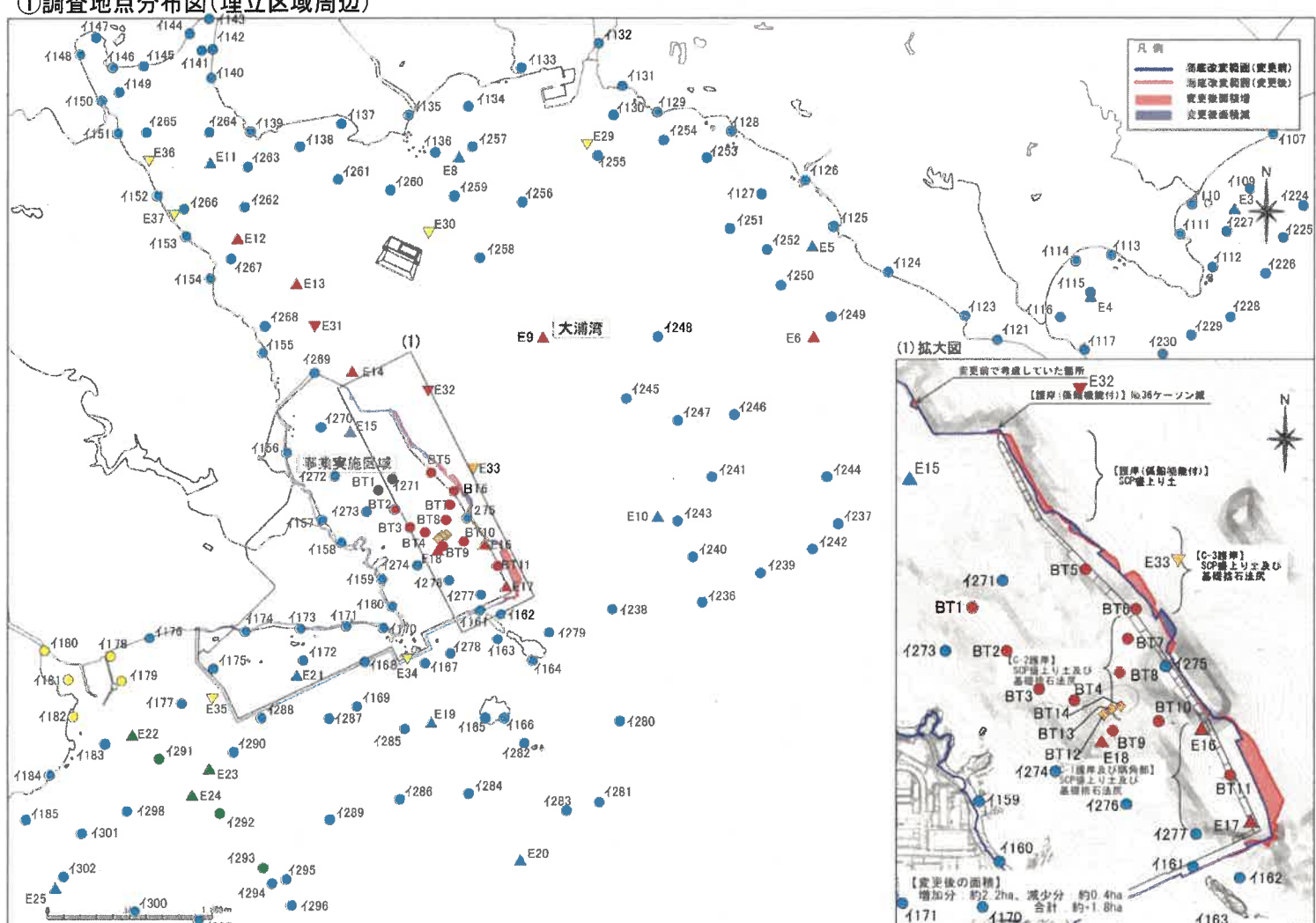
 \sim

 ω



既往調査地点と変更前後の海底改変範囲の重ね合わせ

①調査地点分布図(埋立区域周辺)



乙A第100号証

<調査地点の凡例>

	既往調査地点		
調査項目	調査実施時期	地点数	凡例
インベントリー調査	平成19年度(夏季)~26年度(春季)	212地点	0
) by.m.	平成19年度(夏季)~22年度(夏季)、 平成23年度(夏季)~26年度(春季)	5地点	0
	平成19年度(夏季)~22年度(夏季)	3地点	0
マクロベン トス調査	平成19年度(夏季)~26年度(春季)	25地点	A A
17091	平成20年度(春季)~26年度(春季)	9地点	∇
	平成19年度(夏季)~22年度(夏季)	3地点	A

	は深ペントス制 は深ペントス制		
水深	地点数	凡例	
20m~40m	21地点		
40m以深	4地点	♦ ▽	

- 注)1. 図中の既往調査地点は平成19年度(夏季)~平成26年度(春季)にインベントリー調査及びマクロベントス調査を実施した調査地点を示す。ただし、以下の調査地点については、それぞれ右記の期間に 調査を実施している。
 - ・インベントリー調査 1178~1182(〇):平成19年度(夏季)~平成22年度(夏季)、平成23年度(夏季)~平成26年度(春季)
 - イ291~イ293(●):平成19年度(夏季)~平成22年度(夏季) ・マクロベントス調査 E29~E37(▽♥♥):平成20年度(春季)~平成26年度(春季)
 - E22~E24(▲):平成19年度(夏季)~平成22年度(夏季)
 - 2. 既往調査地点のうち以下に示す地点については、環境監視調査として現在も調査を実施している。
 - ・インベントリー調査 : 4110~4112, 4133, 4137, 4139, 4143, 4144, 4146, 4150, 4151, 4155, 4190~4193, 4195, 4198, 4207, 4256, 4260, 4302, 4307, 4310, 4311
 - •マクロベントス調査 : E8, E25, E27, E37

 \mathcal{O}

 ω

9